

II JORNADAS TÉCNICAS DA APRH

ÁGUAS DE ABASTECIMENTO E SANEAMENTO EM ZONAS COSTEIRAS TURÍSTICAS

PLANEAMENTO E GESTÃO DOS SISTEMAS DE ÁGUA DE ABASTECIMENTO EM ZONAS CARENCIADAS

MODELO MATEMÁTICO DE PLANEAMENTO E EXPLORAÇÃO DO SISTEMA DE ABASTECIMENTO DE ÁGUA AO CONCELHO DE CASCAIS - PARTE B

EDUARDO RIBEIRO DE SOUSA

(Doutor em Eng^a Civil. Professor Associado do IST. Consultor da Hidrosistemas,
Estudos Especiais de Sistemas Hídricos e Ambientais, Lda., Lisboa)

ULISSES LAGES

(Eng^o Civil. Engenheiro da Hidrosistemas. Lisboa)

JOÃO CORREIA SAL SINHA

(Eng^o Civil. Engenheiro da Hidroprojecto. Lisboa)

ANTONINA VIDEIRA

(Eng^a Civil. Serviços Municipalizados de Água e Saneamento de Cascais. Cascais)

PLANEAMENTO E GESTÃO DOS SISTEMAS DE ÁGUA DE ABASTECIMENTO EM ZONAS CARENCIADAS

RESUMO

Na presente comunicação, dividida em duas partes (Partes A e B), apresentam-se os resultados decorrentes do "Estudo para Implementação do Modelo Matemático do Sistema de Abastecimento de Água no Concelho de Cascais - 1^a Fase" e realizado para os Serviços Municipalizados de Água e Saneamento de Cascais. Nesta Parte B apresentam-se e discutem-se os resultados obtidos na aplicação do modelo matemático, propriamente dita. Dada a extensão do trabalho desenvolvido ao longo do estudo, a apresentação e discussão incide apenas sobre uma parte destes resultados, especificamente para o sub-sistema da conduta "baixa", do sistema de abastecimento da SEPAL, e para o sub-sistema Alto Estoril-Goulão, do sistema da zona ocidental do concelho.

JOÃO CORREIA SAL SINHA

(Eng^o Civil. Engenheiro da Hidroprojecto. Lisboa)

ANTONINA VIDEIRA

(Eng^a Civil. Serviços Municipalizados de Água e Saneamento de Cascais. Cascais)

PLANEAMENTO E GESTÃO DOS SISTEMAS DE ÁGUA DE ABASTECIMENTO EM ZONAS CARENCIADAS

RESUMO

Na presente comunicação, dividida em duas partes (Partes A e B), apresentam-se os resultados decorrentes do "Estudo para Implementação do Modelo Matemático do Sistema de Abastecimento de Água no Concelho de Cascais - 1^a Fase" e realizado para os Serviços Municipalizados de Água e Saneamento de Cascais. Nesta Parte B apresentam-se e discutem-se os resultados obtidos na aplicação do modelo matemático, propriamente dito. Dada a extensão do trabalho desenvolvido ao longo do estudo, a apresentação e discussão incide apenas sobre uma parte destes resultados, especificamente para o sub-sistema da conduta "baixa", do sistema de abastecimento da SEPAL, e para o sub-sistema Alto Estoril-Goulão,

1. INTRODUÇÃO

Na Parte A da presente comunicação (RIBEIRO DE SOUSA, LAGES, SALSINHA e VIDEIRA 1985) apresentaram-se, relativamente ao "Estudo para Implementação do Modelo Matemático do Sistema de Abastecimento de Água ao Concelho de Cascais - 1^a Fase" (HIDROPROJECTO/HIDROSISTEMAS a e b) e realizado para os Serviços Municipalizados de Água e Saneamento de Cascais (SMASC), a descrição geral do sistema de abastecimento de água, os elementos de base para a realização do estudo e os critérios utilizados para a construção do modelo matemático (análise do cadastro, esquematização do sistema, elementos especiais, análise de consumos e respectivos critérios da sua atribuição aos nós).

Esta Parte B da comunicação comprehende a apresentação e discussão dos resultados obtidos decorrentes da aplicação, propriamente dita, do modelo matemático. Dada a extensão do trabalho desenvolvido, esta apresentação e discussão incide apenas sobre uma parte destes resultados. Assim, utilizando a designação definida na Parte A da comunicação, são englobados os seguintes sub-sistemas:

- a) Sistema de abastecimento da EPAL: sub-sistema da conduta "baixa";
- b) Sistema da zona ocidental do concelho: sub-sistema Alto Estoril-Goulão.

2. MODELAÇÃO DO SISTEMA DE ABASTECIMENTO DE ÁGUA - 1^a FASE: PRINCÍPIOS GERAIS

No âmbito da presente comunicação (RIBEIRO DE SOUSA, LAGES, SALSINHA e VIDEIRA 1985) apresentaram-se, relativamente ao "Estudo para Implementação do Modelo Matemático do Sistema de Abastecimento de Água ao Concelho de Cascais - 1^a Fase" (HIDROPROJECTO/HIDROSISTEMAS a e b) e realizado para os Serviços Municipalizados de Água e Saneamento de Cascais (SMASC), a descrição geral do sistema de abastecimento de água ao concelho de Cascais, os elementos de base para a realização do estudo e os critérios utilizados para a construção do modelo matemático. No âmbito da 1^a Fase do estudo a actividade de modelação matemática incide essencialmente na análise das condições de equilíbrio hidráulico dos diversos sistemas e correspondentes sub-sistemas para a situação actual. De facto, de acordo com os princípios enunciados na Proposta para a realização do estudo, a 1^a Fase deste destinava-se fundamentalmente a realizar todo um trabalho de base, no qual seriam, por um lado, executadas as actividades de informática relativas à implementação e testes dos modelos computacionais e, por outro, toda a preparação dos elementos de base e dos ficheiros de dados específicos do sistema de abastecimento de água ao concelho de Cascais; a 1^a Fase culminaria com a elaboração de um conjunto de execuções preliminares dos modelos e respectivas análises de sensibilidade. A exploração intensiva dos modelos, nomeadamente o estudo de alternativas a nível de planeamento e exploração, e a simulação dinâmica do sistema de abastecimento serão objecto da 2^a Fase do estudo, uma vez que devem ser precedidas da adequada calibração dos modelos, actividade que se desenvolverá apenas no início desta fase.

Dentro do enquadramento referido, os resultados obtidos da modelação matemática referem-se à análise das condições de equilíbrio hidráulico dos diferentes sistemas e respectivos sub-sistemas que constituem o sistema de abastecimento de água ao concelho de Cascais, de acordo com os critérios descritos na Parte A da presente comunicação e com os que a seguir se enunciam, por aplicação sistemática do programa de cálculo SIDINA/HS⁽¹⁾ (RIBEIRO DE SOUSA 1984).

No que respeita ao sistema de abastecimento da EPAL (sub-sistemas das condutas "alta" e "baixa" da EPAL), as execuções efectuadas orientaram-se no sentido da análise de sensibilidade do funcionamento hidráulico dos dois sub-sistemas, pela variação da cota piezométrica disponível na secção das correspondentes condutas à entrada do concelho de Cascais; para além disso, e para cada caso de cota piezométrica, admitiram-se diversas hipóteses quanto ao grau de enchimento dos reservatórios incluídos em cada um dos sub-sistemas.

Doutro modo, para os sistemas das zonas oriental e ocidental do concelho e respectivos sub-sistemas procedeu-se ao cálculo das condições de equilíbrio hidráulico para o consumo de ponta na situação actual, analisando-se, para cada caso, os cenários alternativos correspondentes aos regimes de exploração mais correntes. Como critérios de análise dos resultados obtidos para os diferentes regimes de exploração foram considerados a velocidade má-

(1) - Sigla abreviada para Simulação DINAmica de Sistemas de Distribuição de Água, que a seguir se enuncia, por aplicação sistemática do programa de cálculo SIDINA/HS (RIBEIRO DE SOUSA 1984).

xima de escoamento e os limites máximos e mínimos das pressões nos nós de junção. Quanto ao primeiro aspecto, a velocidade máxima de referência é estabelecida em função do diâmetro da tubagem, de acordo com a seguinte expressão:

$$V_{\max} = 0,1274 D^{0,4}$$

sendo:

V_{\max} - velocidade máxima ($m s^{-1}$)

D - diâmetro da tubagem (mm)

No que respeita aos valores de referência da pressão nos nós de junção foram considerados os 60 e 15 m c.a., respectivamente como limite superior e inferior.

Nos ficheiros de resultados do programa SIDINA/HS, e para maior facilidade de interpretação dos mesmos, sempre que os valores calculados se afastavam dos limites referidos foi utilizada a seguinte simbologia:

1) Para a pressão nos nós (P , expressa em m.c.a.)

No enunciado anterior, a velocidade máxima de escoamento é estabelecida em função do diâmetro da tubagem de acordo com a expressão:

$$60 < P \leq 70 +$$

$$P > 70 ++$$

$$10 \leq P < 15 -$$

$$P < 10 --$$

sendo:

2) Para a velocidade de escoamento nas tubagens (V)

$$V_{\max} \leq V < 1,15 V_{\max} *$$

$$V \geq 1,15 V_{\max} **$$

No que respeita ao valor de referência da pressão nos nós de junção, consideraram-se os 60 e 15 m c.a., respectivamente como limite superior e inferior.

3. MODELAÇÃO DO SISTEMA DE ABASTECIMENTO DA EPAL: SUB-SISTEMA DA CONDUTA "BAIXA"

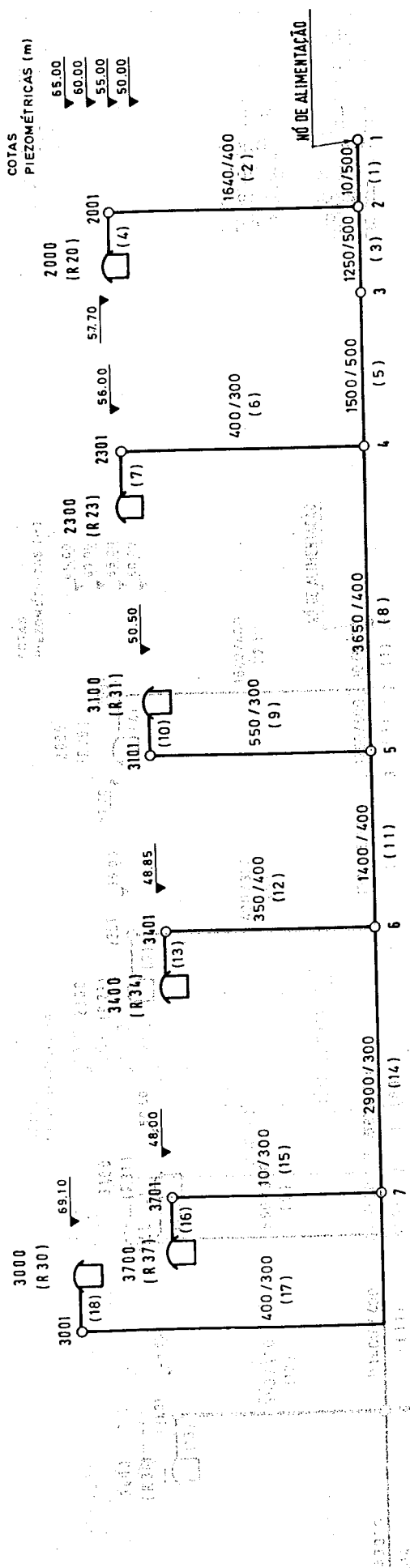
Tal como referido na Parte A da comunicação, a conduta "baixa" da EPAL entra no concelho junto à Quinta do Marquês, com um diâmetro de 500 mm, apresentando, ao longo do seu traçado, diversas derivações, designadamente as que terminam nos reservatórios de S. Domingos de Rana (R20), de Parede "Novo" (R23), do Alto Estoril (R31) e do Lago (R34), cujos diâmetros são no primeiro e último casos 400 mm e nos dois restantes 300 mm. A partir da derivação para o reservatório do Lago, a conduta segue para a vila de Cascais alimentando o reservatório com o mesmo nome (R37) e prolongando-se até ao reservatório da Pampilheira (R30). O diâmetro da conduta "baixa", entre as derivações para os reservatórios de Parede "Novo" e do Lago, reduz-se de 500 para 400 mm, fixando-se para jusante desta última em 300 mm.

2) Para a velocidade de escoamento nas tubagens (V)

A conduta "baixa" da EPAL, ao longo do seu desenvolvimento, não faz qualquer distribuição de percurso, alimentando apenas os referidos reservatórios. Nestas condições, para efeito do modelo, considerou-se uma conduta ramificada, em que os nós de junção considerados na esquematização apresentada na Figura 1 são os resultados apenas das mudanças de diâmetros e/ou das derivações para os reservatórios; os nós de alimentação (que neste caso correspondem à entrada de caudal nos respectivos reservatórios) são modelados como reservatórios com uma cota do nível de água igual à do eixo da tubagem de chegada, uma vez que, em qualquer dos casos, as respectivas entradas se fazem sempre por cima.

Uma vez que não foi possível dispor das flutuações de caudal e respectiva cota piezométrica na secção da conduta à entrada do concelho, houve necessidade de estabelecer nesta 1ª Fase, para cálculo das condições de funcionamento hidráulico, uma gama de cotas piezométricas. Nesta gama consideraram-se os valores de 50, 55, 60 e 65 m, pelos motivos apontados no capítulo 2 da Parte A da presente comunicação.

O diâmetro da conduta "baixa", entre as derivações para os reservatórios de Parede "Novo" e do Lago, reduziu-se de 500 para 400 mm, fixando-se para jusante desta última em 300 mm.



1. RESERVATÓRIOS

Designação	Nº	Céltulas Geometria(1) (m ou m ²)	Capacidade (m ³)	Cotas dos níveis de água(m) Máx.	Cotas de Solenha (m)
SÃO DOMINGOS DE RANA	1	D = 14,50	500	57,70	54,70
	2	D = 14,50	500	55,15	
	3	D = 25,20	2500		
PAREDE "NOVO"	1	D = 15,45	750	56,00	52,00
	2	D = 15,45	750		
PAMPULHERA	1	D = 23,60	2200	69,10	64,00
	2	A = 176,00	900	900	
	3	A = 176,00	900		
ALTO ESTORIL	1	D = 14,80	500	50,50	47,50
	2	D = 14,80	500		
LAGO R34	1	A = 135,00(2)	250	48,85(2)	47,00
	2				
CASCAS	1	D = 18,30	1000	47,80	44,80
	2	D = 18,30	1000		

LEGENDA:

- CENÁRIO 1 – cota piezométrica
- CENÁRIO 2 – cota piezométrica
- CENÁRIO 3 – cota piezométrica
- CENÁRIO 4 – cota piezométrica
- Número da tubagem
- Número do nó de junção

(1) - D = diâmetro; A = área da base
(2) - Valores sujeitos à verificação

FIG. 10 - Conduita "baixa" da EPAL. Esquematização e análise de sensibilidade do funcionamento hidráulico.

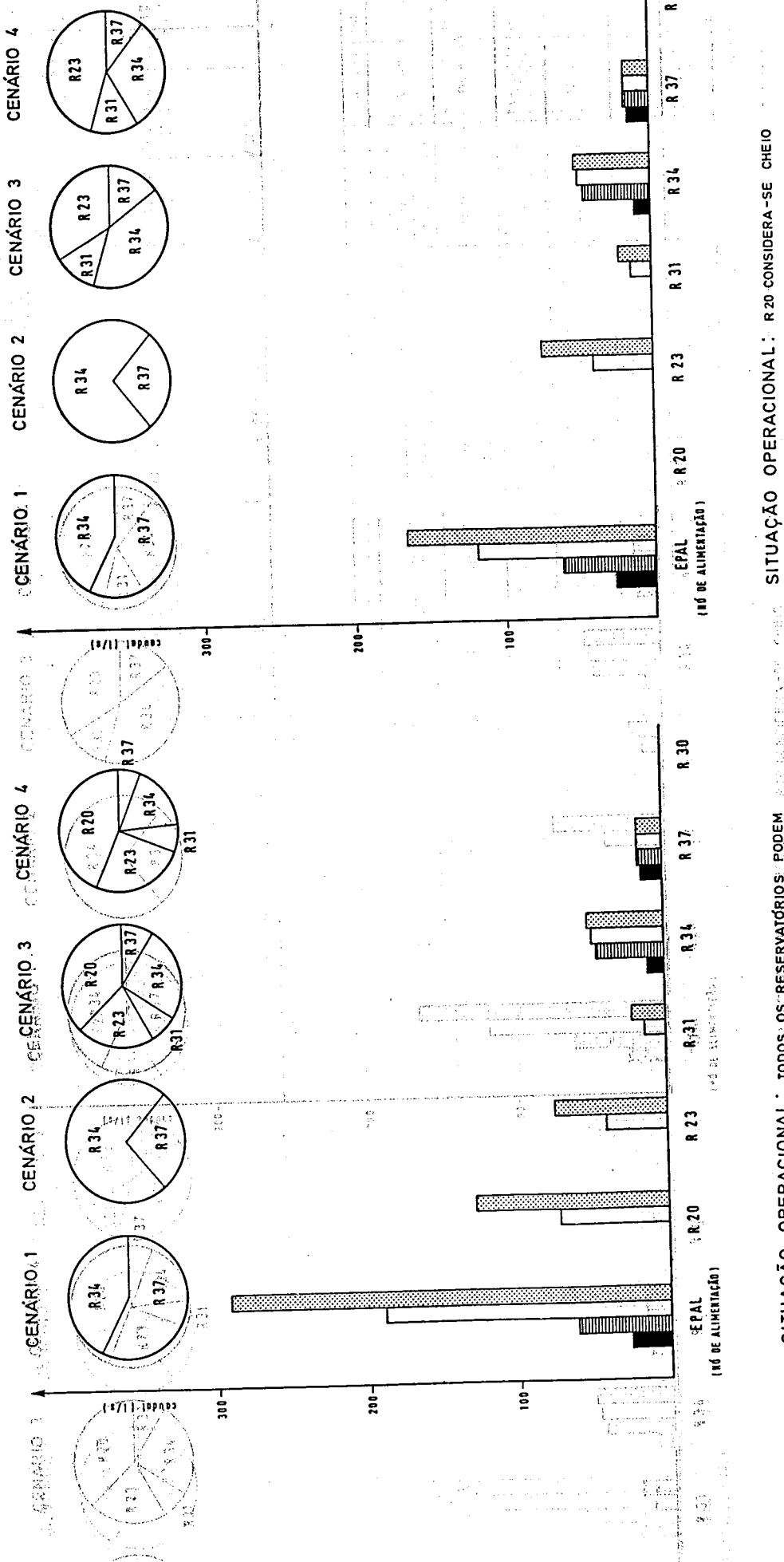
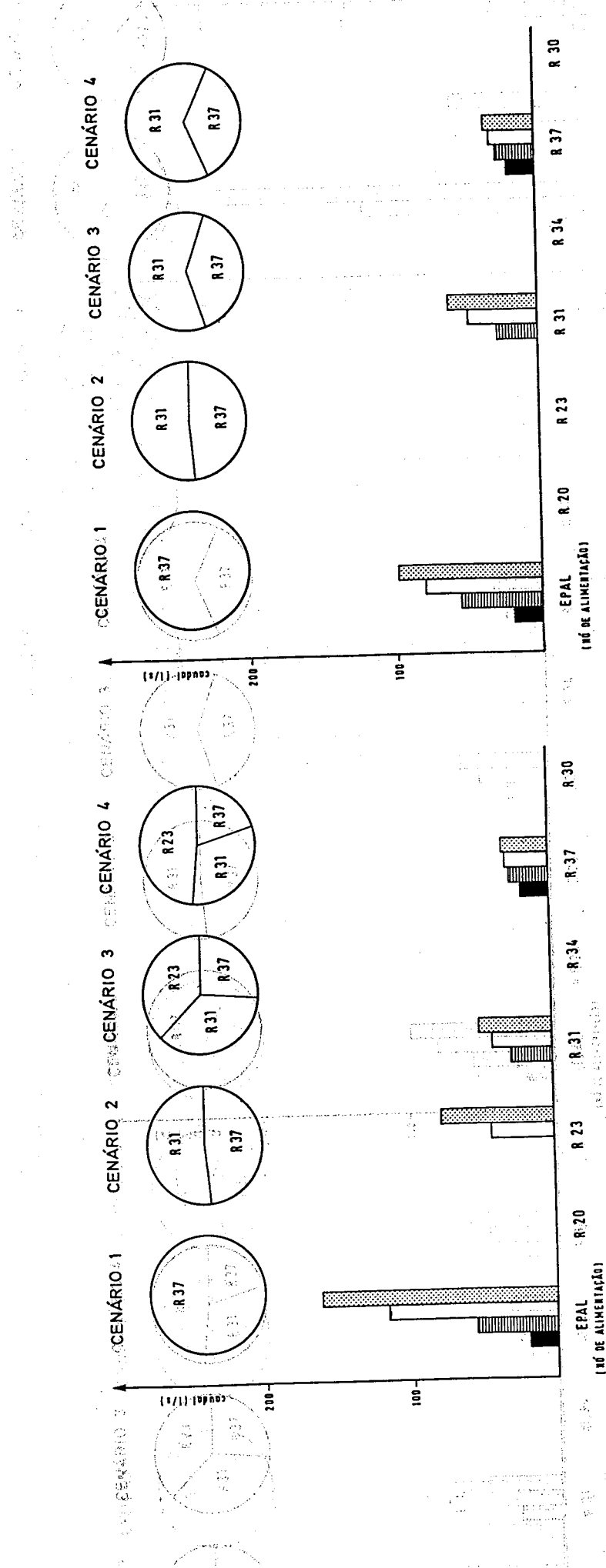


FIG. 1 - Conduita "baixa" da EPAL. Esquematização e análise de sensibilidade do funcionamento hidráulico (Cont.).



SITUAÇÃO OPERACIONAL: R20, R23 E R34 CONSIDERAM-SE CHEIOS **SITUAÇÃO OPERACIONAL: R20, R23 E R34 CONSIDERAM-SE CHEIOS**

FIG. 1 - Conduta "baixa" da EPAL. Esquematização e análise de sensibilidade do funcionamento hidráulico (Cont.).

Para além dos quatro cenários de cota piezométrica referidos, foram também consideradas diferentes situações operacionais relativamente ao modo de funcionamento dos reservatórios. As situações foram as seguintes:

- todos os reservatórios podem receber água da conduta da EPAL, isto é, nenhum deles se encontra cheio;
- o reservatório de S. Domingos de Rana (R20) encontra-se cheio e os restantes podem receber água da conduta da EPAL;
- os reservatórios de S. Domingos de Rana (R20) e do Lago (R34) encontram-se cheios e os restantes podem receber água da conduta da EPAL;
- os reservatórios de S. Domingos de Rana (R20), do Lago (R34) e de Parede "Novo" (R23) encontram-se cheios e os restantes podem receber água da conduta da EPAL.

Os resultados obtidos para as 16 hipóteses consideradas apresentam-se, sob a forma gráfica, na Figura 1.

Dos resultados obtidos para as 16 hipóteses consideradas, foram também considerados, os resultados obtidos podem ser tiradas algumas conclusões que devem ser encaradas como preliminares nesta fase. Estas conclusões são as seguintes:

- para qualquer das hipóteses simuladas o reservatório da Pampilheira (R30) dificilmente pode ser alimentado, por gravidade, a partir da conduta "baixa" da EPAL;
- para os cenários de cota piezométrica 50 e 55 m no nó da conduta da EPAL à entrada do concelho e na situação operacional referida, os reservatórios de S. Domingos de Rana (R20), de Parede "Novo" (R23) e do Alto Estoril (R31) não podem ser alimentados;
- idêntica conclusão à anterior pode ser tirada para a situação operacional b) referida;
- para a situação operacional c) referida, o reservatório de Parede "Novo" (R23) não pode ser alimentado para os cenários de cota piezométrica 50 e 55 m, enquanto que no caso do reservatório do Alto Estoril (R31) aquela condição apenas se verifica para o primeiro cenário;
- para a situação operacional d) referida, o reservatório do Alto Estoril (R31) não pode ser alimentado apenas para o cenário de cota piezométrica 50 m.

4. MODELAÇÃO DO SISTEMA DA ZONA OCIDENTAL: SUB-SISTEMA ALTO ESTORIL-GOULÃO

O sub-sistema Alto Estoril-Goulão abastece essencialmente os bairros das Fontainhas, de S. José e de Stº António e as povoações de Pai do Vento, Abuxarda, Amoreira e parte do Estoril. Este sub-sistema é constituído por 128 tubagens, com diâmetros que variam entre os 50 e 500 mm, 95 nós de junção e quatro nós de alimentação, correspondentes aos reservatórios do Goulão (R32) e da Pampilheira (R30) e às estações elevatórias do Alto Estoril (EE15) e do Monte Estoril (EE21); neste caso, o reservatório da Pampilheira destina-se apenas a receber os excedentes de caudal da rede de distribuição. A esquematização do sub-sistema apresenta-se na Figura 2.

- 1) Normal: o sub-sistema é alimentado pelo reservatório do Goulão (R32) e pela estação elevatória do Alto Estoril (EE15), servindo o reservatório da Pampilheira (R30) para receber os excedentes de caudal da rede;
- 2) Alternativa 1: o sub-sistema é alimentado exclusivamente pelo reservatório do Goulão (R32) e servindo o reservatório da Pampilheira (R30), tal como no caso

O sub-sistema Alto Estoril-Goulão abastece essencialmente os bairros das Fontainhas, de S. José e de Stº António e as povoações de Pai do Vento, Abuxarda, Amoreira e parte do Estoril. Este sub-sistema é constituído por 128 tubagens, com diâmetros que variam entre os 50 e 500 mm, 95 nós de junção e quatro nós de alimentação, correspondentes aos reservatórios do Goulão (R32) e da Pampilheira (R30).

CONVENÇÕES:

- | | | | | | | |
|--|--|--|--|---|---|---|
| 
Reservatório | 
Estação elevatória | 
Nó de ligação entre sub-sistemas | 
Número do nó de junção | 
Número da tubagem | 
Válvula de secionamento | 
Designação do reservatório ou estação |
| 168 | ○ | ● | 168 | ○ | ○ | PAMPINHEIRA |
| ○ | ○ | ○ | 169 | ○ | — | (R) [R] |
| ○ | ○ | ○ | ○ | — | 3001 | 3001 |
| ○ | ○ | ○ | ○ | — | 66.6 | 66.6 |

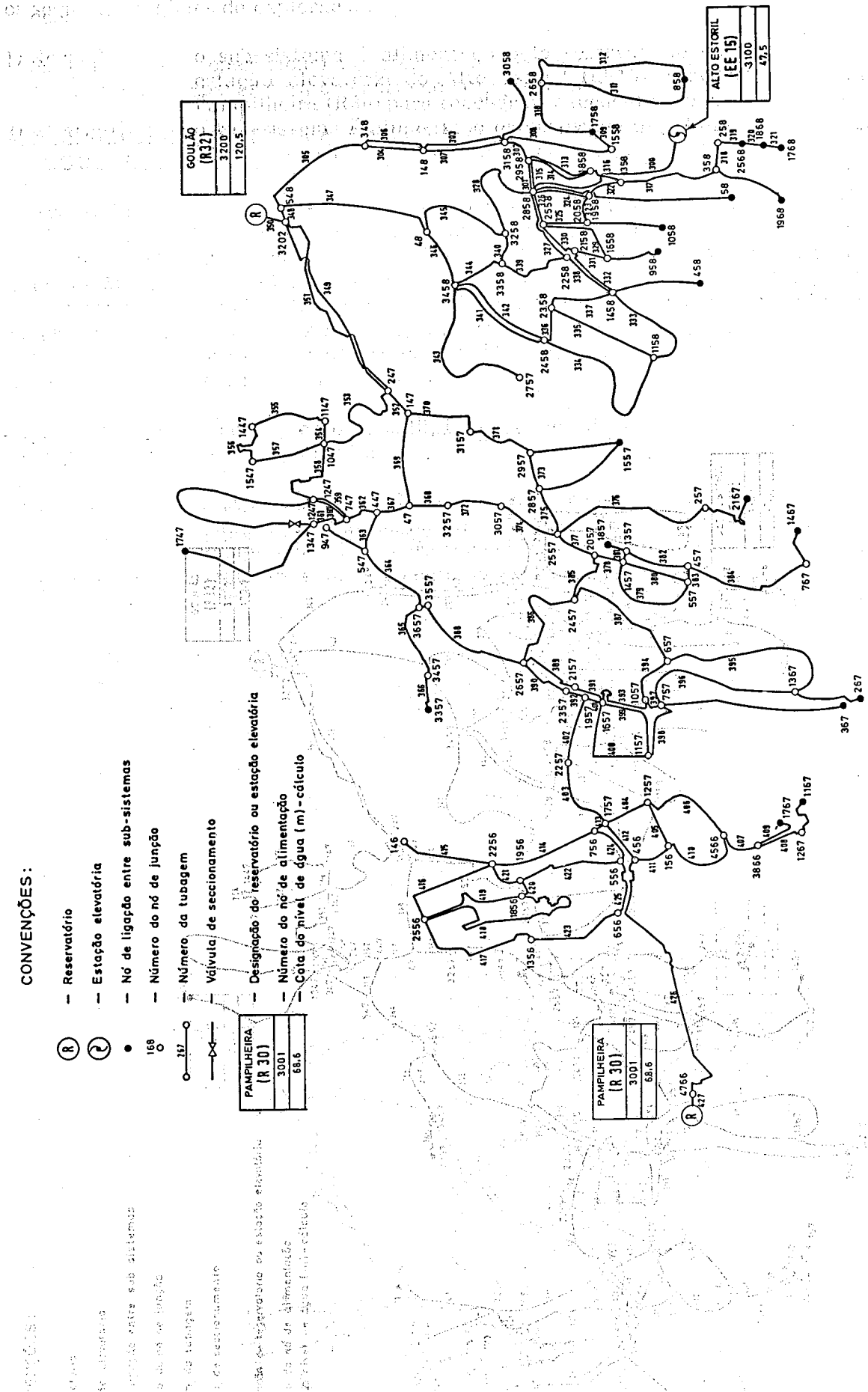


FIG. 2 - Sub-sistema Alto Estoril-Goulão. Esquematização.

anterior, para receber os excedentes de caudal da rede;

- 3) Alternativa 2: o sub-sistema é alimentado pelo reservatório do Goulão (R32) e pela estação elevatória do Monte Estoril (EE21); o reservatório da Pampilheira (R30), tal como nos casos anteriores, recebe os excedentes de caudal da rede.

Para cada um dos cenários de regime de exploração referidos, foram feitas execuções do programa SIDINA/HS com os correspondentes ficheiros de dados. A título ilustrativo, apresentam-se no Anexo I⁽¹⁾ os resultados obtidos para o regime de exploração normal.

No caso do regime de exploração normal, o reservatório do Goulão (R32) e a estação elevatória do Alto Estoril (EE15) garantem, respectivamente, 23,5 (caudal $21,81 \text{ ls}^{-1}$) e 76,5% (caudal $71,14 \text{ ls}^{-1}$) do caudal entrado no sub-sistema, para as condições de consumo de ponta. Por outro lado, o reservatório da Pampilheira (R30) recebe 17,3% (caudal $16,03 \text{ ls}^{-1}$) do caudal entrado no sub-sistema através daqueles nós de alimentação.

Duma forma geral, as velocidades de escoamento são inferiores aos valores máximos estabelecidos, exceptuando-se os casos das tubagens 353, 369, 370, 385, 390 a 393, 402 e 403. Nalguns destes casos, as condições hidráulicas verificadas recomendam uma análise posterior com vista a uma possível alteração dos diâmetros presentemente instalados são de destacar as perdas de carga unitárias verificadas na maior parte das tubagens referidas.

No que respeita às pressões nos nós de junção, verifica-se que existe uma zona cujas pressões atingem valores superiores a 60 m e que se localiza na área sudeste do sub-sistema; esta zona estende-se entre o Casino do Estoril e a Avenida Nuno Álvares Pereira, que a limita a norte. Pelo contrário, numa pequena área a noroeste do sub-sistema (nós 146, 1856, 2256 e 2556) as pressões calculadas situam-se abaixo de 15 m. O valor médio da pressão nos nós do sub-sistema é de 39,4 m, atingindo-se o máximo de 88,06 m no nó 1768. Na Figura 3 apresenta-se, para este cenário de funcionamento, a carta de distribuição de pressões para o sub-sistema.

No regime de exploração - alternativa 1 - os valores máximos estabelecidos para as velocidades são ultrapassados exactamente nas mesmas tubagens do cenário anterior, o que reforça a recomendação feita no que respeita à alteração dos diâmetros dessas tubagens. Situação idêntica se verifica quanto às pressões nos nós de junção, uma vez que se mantêm pressões superiores a 60 m na zona sudeste do sub-sistema, referida anteriormente; no entanto, os valores das pressões desceram entre 3 a 4 m em relação aos obtidos para o cenário precedente. O valor médio da pressão nos nós do sub-sistema é agora de 38,85 m, atingindo-se o máximo de 84,67 m no nó 1768.

Finalmente, para o regime de exploração - alternativa 2 - o panorama relativo às condições de equilíbrio hidráulico é idêntico, nas suas linhas gerais, aos obtidos para os cenários anteriores. Neste caso, as velocidades elevadas restringem-se às tubagens 385, 390 a 393, 402 e 403, mantém-se a zona de pressões superiores a 60 m e verifica-se um aumento significativo das pressões nos nós que, para os cenários anteriores, apresentavam valores inferiores a 15 m; este número atinge um valor da ordem dos 6 m. O valor médio da pressão nos nós do sub-sistema é de 46,0 m, atingindo-se o máximo de 84,67 m no nó 1768, tal como anteriormente.

Ainda para o último cenário alternativo, o reservatório do Goulão (R32) e a estação elevatória do Monte Estoril (EE21) garantem, respectivamente, 35,2 (caudal $35,68 \text{ ls}^{-1}$) e 64,8% (caudal $65,54 \text{ ls}^{-1}$) do caudal entrado no sub-sistema, para as condições de consumo de

(1) - As curvas características das estações elevatórias são expressões do tipo $H = AQ^2 + BQ + C$, calculadas pelo programa SIDINA/HS a partir de três ou mais pares de valores (H, Q) declarados como dados de entrada. Para a estação elevatória do Alto Estoril a sua operação é feita com dois grupos electrobomba em paralelo, idênticos, sendo a curva característica do conjunto dada por:

Finalmente, para o regime de c. $H = -276,797Q^2 - 40,982Q + 80,23$

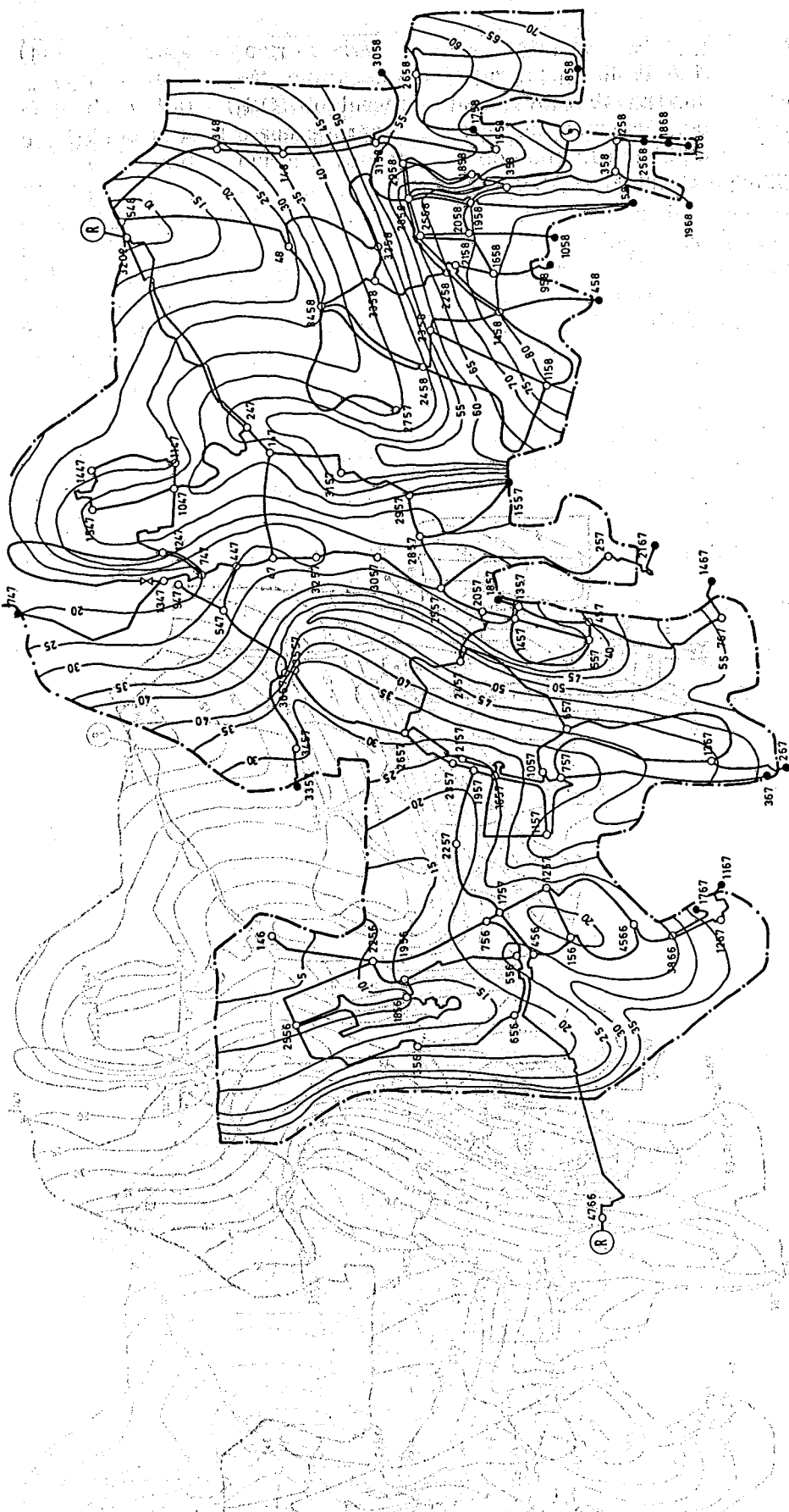


FIG. 3 - Sub-sistema Alto Estoril-Goulão. Carta da distribuição de pressões.

ponta. Por outro lado, o reservatório da Pampilheira (R30) recebe 24% (caudal 24,3 ls⁻¹) do caudal entrado no sub-sistema através daqueles nós de alimentação.

Numa análise global do funcionamento hidráulico do sub-sistema, em face dos resultados discutidos anteriormente, merecem referência especial, em síntese, os seguintes aspectos fundamentais:

- a) necessidade de reformular os diâmetros existentes das tubagens 353, 369, 370, 385, 390 a 393, 402 e 403, o que poderá melhorar as pressões disponíveis nos nós 146, 2256 e 2556;
- b) procurar encontrar uma via de reduzir as pressões na área sudeste do sub-sistema.

Quanto ao aspecto referido em b) a solução poderá ser encontrada através de uma redistribuição das zonas de influência entre os sub-sistemas do Alto Estoril-Goulão e de Pau-Gordo.

A terminar a discussão sobre este sub-sistema, será oportuno referir um dos problemas de exploração e que diz respeito à interligação entre a bombagem do Alto Estoril (EE15) para o reservatório do Goulão (R32) e a alimentação do reservatório do Alto Estoril (R31) através da conduta "alta" da EPAL. De facto, não parece razoável, sob o ponto de vista económico (consumo de energia), estar a aduzir os caudais da conduta "alta" desta cota para a rede de distribuição que, em princípio, deveria ser alimentada pelo reservatório do Goulão (R23), com a soleira a cota 117,0 m.

A solução mais adequada parece ser a construção de um reservatório e de uma estação elevatória (cota aproximada 92 m) na zona do nó de ligação entre a conduta "alta" da EPAL e a conduta de 250 mm que une os reservatórios do Goulão e do Alto Estoril, de modo a tornar possível, com menores encargos de energia dos que actualmente se verificam, colocar no reservatório do Goulão (R32) os caudais necessários ao consumo na respectiva rede de distribuição. Nestes pressupostos, o reservatório do Alto Estoril (R31) poderia vir a deixar de ter sentido, uma vez que nem sequer faz presentemente distribuição por gravidade. Este aspecto deverá merecer uma análise mais detalhada na 2ª Fase do estudo, de forma a ser possível encontrar a solução para este problema que os SMASC enfrentam na exploração do sub-sistema.

5. AGRADECIMENTOS

A presente comunicação decorre do contrato celebrado entre os Serviços Municipalizados de Água e Saneamento da Câmara Municipal de Cascais e o Consórcio das Empresas HIDROPROJECTO, Consultores de Hidráulica e Salubridade, SARL e HIDROSISTEMAS, Estudos Especiais de Sistemas Hídricos e Ambientais, Lda., para a realização do "Estudo para Implementação do Modelo Matemático do Sistema de Abastecimento de Água ao Concelho de Cascais". A estas entidades e em especial aos SMASC, na pessoa do seu Director, Engº Alvaro Costa, os autores agradecem reconhecidamente o terem tornado possível a elaboração da presente comunicação.

Os autores agradecem igualmente ao Município do Concelho de Cascais, na pessoa do seu Director, Engº Alvaro Costa, os serviços prestados ao consórcio na respectiva rede de distribuição. Desta forma, este é o reconhecimento ao Município Cascais, que a deixa de ter sentido, uma vez que nem sequer faz presentemente distribuição por gravidade. Este aspecto deverá merecer uma análise mais detalhada na 2ª Fase do estudo, de forma a ser possível encontrar a solução para este problema que os SMASC enfrentam na exploração do sub-sistema.

ANEXO I - Ficheiro de resultados. Sub-sistema Alto Estoril-Goulão.
Regime normal de exploração

```
*****
* SIMULACAO DINAMICA DE SISTEMAS DE DISTRIBUICAO DE AGUA *
*****
* PROGRAMA SIDINA / HS *
*****
* HIDROSISTEMAS - ESTUDOS ESPECIAIS DE SISTEMAS *
* HIDRICOS E AMBIENTAIS - LDA. *
* AV DE BERNA 13-60 1000 LISBOA *
*****
*****
```

ZONA OCIDENTAL DE CASCAIS
EQUILIBRIO HIDRAULICO

SUB-SISTEMA DO ALTO ESTORIL - GOULAO

NOS DE ALIMENTACAO : ALTO ESTORIL (EE15)
GOULAO (R32)
PAMPILHEIRA (R30)

ANEXO I - Ficheiro de resultados. Sub-sistema Alto Estoril-Goulão.
FACTOR MULTIPLICATIVO DOS CONSUMOS: 2.0000

TUBAGENS:	128	DIAMETROS	METRO
NOS:	95	COMPRIMENTOS	METRO
E-ELEVATORIAS:	1	COTAS PIEZOMETRICAS	METRO
SOBREPRESSORAS:	0	COTAS TOPOGRAFICAS	METRO
RESERVATORIOS:	2	SISTEMAS PRESSOES CAUDAL/CA	KN/M2
PC LOCALIZADAS:	0	CAUDAIS	L/S

E. ELEVATORIAS: COEF LINEAR ALT ELEVACAO COTA PIEZ
TUBG COEF 2A. ORDEM COEF LINEAR ALT ELEVACAO COTA PIEZ
AV DE CIMA 0.00 EM VAZIO 0.00 ASPIRACAO

300 -276.797 -40.982 80.93 47.50

RESERVATORIOS E ORIFICIOS:

NO. TUB	NO	COTA PIEZ	CAUDAL	P. CARGA
310	350	3200	0.120	0.50
2	427	3000	0.168	0.50

QUADRO RESUMIDO DOS RESULTADOS NAS TUBAGENS

TUBG	NOS	RUGOSI	PERDA P. CARGA	
NO.	DEPARA MUL COMP	DIAM	CARGA UNITARIA	
300	31000/2858.0	600. 0.500	0.0170 0.362 0.364 0.607	
*	2858/02958	100. 0.400	0.0170 0.251 0.159 0.200 0.0251 0.250	
302	2958/03158/0110.	100. 0.400	0.0170 0.477 0.743 0.380 0.0993 0.899	
*	3158/06148/0310.	100. 0.300	0.0170 0.39.633 0.50.561 0.891 2.873	
*	148/05348/0220.	100. 0.300	0.0170 0.39.172 0.50.554 0.617 2.806	
*	348/05484/0420.	100. 0.300	0.0170 0.45.141 0.639 1.565 3.727	
305	148/0348	235. 0.150	0.0170 5.969 0.338 0.617 2.627	
306	148/0348	310. 0.150	0.0170 6.242 0.353 0.891 2.873	
307	3158/148/0310.	1558/041380.	0.150 0.0170 1.868 0.106 0.098 0.257	
308	1558/041380.	1558/041380.	0.150 0.0170 1.840 0.100 0.366 0.571 7.134	
309	1558/017558/0380.	1558/017558/0380.	0.080 0.0170 1.840 0.100 0.366 0.571 4.855	
310	1758/2658	340. 0.080	0.0170 1.518 0.302 0.651 0.002	
*	2658/0858/074.590.	60. 0.080	0.0170 0.033 0.007 0.001 0.002	
312	2658/0858	680. 0.080	0.0170 0.031 0.006 0.001 0.002	
*	2958/041858/0225.	100. 0.050	0.0170 0.483 0.246 1.354 6.016	
*	2958/01858/0225.	100. 0.080	0.0170 1.690 0.336 1.354 6.016	
315	2858/02858/0100.	400. 0.400	0.0170 25.159 0.200 0.025 0.250	
*	316	1858/03140.	100. 0.100	0.0170 1.066 0.136 0.102 0.729
*	317	1358/0358	360. 0.080	0.0170 1.938 0.386 2.849 7.914
*	318	358/2568	90. 0.080	0.0170 1.150 0.229 0.251 2.787
319	2568/2568	70. 0.125	0.0170 0.846 0.069 0.010 0.140	
*	2568/1868/074.590.	80. 0.125	0.0170 0.496 0.040 0.004 0.048	
*	321	1868/1768	60. 0.125	0.0170 0.192 0.016 0.000 0.007
*	322	1958/01358	130. 0.070	0.0170 1.178 0.306 0.774 5.957
323	2058/01958	120. 0.070	0.0170 0.471 0.122 0.115 0.954	
*	324	2858/01958	190. 0.070	0.0170 0.930 0.242 0.706 3.717
*	325	2558/02058	140. 0.080	0.0170 0.751 0.149 0.167 1.190
326	2858/02558	100. 0.200	0.0170 16.354 0.521 0.425 4.252	
*	327	2858/02258	260. 0.050	0.0170 0.478 0.244 1.538 5.916
328	2858/02158	360. 0.050	0.0170 0.478 0.244 1.538 5.916	
*	329	1358/02158	100. 0.050	0.0170 0.478 0.244 1.538 5.916
*	330	148/02158	360. 0.050	0.0170 0.478 0.244 1.538 5.916
*	331	2858/02158	100. 0.050	0.0170 0.478 0.244 1.538 5.916
*	332	1358/02158	100. 0.050	0.0170 0.478 0.244 1.538 5.916
*	333	1358/02158	100. 0.050	0.0170 0.478 0.244 1.538 5.916
*	334	1358/02158	100. 0.050	0.0170 0.478 0.244 1.538 5.916
*	335	1358/02158	100. 0.050	0.0170 0.478 0.244 1.538 5.916
*	336	1358/02158	100. 0.050	0.0170 0.478 0.244 1.538 5.916
*	337	1358/02158	100. 0.050	0.0170 0.478 0.244 1.538 5.916
*	338	1358/02158	100. 0.050	0.0170 0.478 0.244 1.538 5.916
*	339	1358/02158	100. 0.050	0.0170 0.478 0.244 1.538 5.916
*	340	1358/02158	100. 0.050	0.0170 0.478 0.244 1.538 5.916
*	341	1358/02158	100. 0.050	0.0170 0.478 0.244 1.538 5.916
*	342	1358/02158	100. 0.050	0.0170 0.478 0.244 1.538 5.916
*	343	1358/02158	100. 0.050	0.0170 0.478 0.244 1.538 5.916
*	344	1358/02158	100. 0.050	0.0170 0.478 0.244 1.538 5.916
*	345	1358/02158	100. 0.050	0.0170 0.478 0.244 1.538 5.916
*	346	1358/02158	100. 0.050	0.0170 0.478 0.244 1.538 5.916
*	347	1358/02158	100. 0.050	0.0170 0.478 0.244 1.538 5.916
*	348	1358/02158	100. 0.050	0.0170 0.478 0.244 1.538 5.916
*	349	1358/02158	100. 0.050	0.0170 0.478 0.244 1.538 5.916
*	350	1358/02158	100. 0.050	0.0170 0.478 0.244 1.538 5.916
*	351	1358/02158	100. 0.050	0.0170 0.478 0.244 1.538 5.916
*	352	1358/02158	100. 0.050	0.0170 0.478 0.244 1.538 5.916
*	353	1358/02158	100. 0.050	0.0170 0.478 0.244 1.538 5.916
*	354	1358/02158	100. 0.050	0.0170 0.478 0.244 1.538 5.916
*	355	1358/02158	100. 0.050	0.0170 0.478 0.244 1.538 5.916
*	356	1358/02158	100. 0.050	0.0170 0.478 0.244 1.538 5.916
*	357	1358/02158	100. 0.050	0.0170 0.478 0.244 1.538 5.916
*	358	1358/02158	100. 0.050	0.0170 0.478 0.244 1.538 5.916
*	359	1358/02158	100. 0.050	0.0170 0.478 0.244 1.538 5.916
*	360	1358/02158	100. 0.050	0.0170 0.478 0.244 1.538 5.916
*	361	1358/02158	100. 0.050	0.0170 0.478 0.244 1.538 5.916
*	362	1358/02158	100. 0.050	0.0170 0.478 0.244 1.538 5.916
*	363	1358/02158	100. 0.050	0.0170 0.478 0.244 1.538 5.916
*	364	1358/02158	100. 0.050	0.0170 0.478 0.244 1.538 5.916
*	365	1358/02158	100. 0.050	0.0170 0.478 0.244 1.538 5.916
*	366	1358/02158	100. 0.050	0.0170 0.478 0.244 1.538 5.916
*	367	1358/02158	100. 0.050	0.0170 0.478 0.244 1.538 5.916
*	368	1358/02158	100. 0.050	0.0170 0.478 0.244 1.538 5.916
*	369	1358/02158	100. 0.050	0.0170 0.478 0.244 1.538 5.916
*	370	1358/02158	100. 0.050	0.0170 0.478 0.244 1.538 5.916
*	371	1358/02158	100. 0.050	0.0170 0.478 0.244 1.538 5.916
*	372	1358/02158	100. 0.050	0.0170 0.478 0.244 1.538 5.916
*	373	1358/02158	100. 0.050	0.0170 0.478 0.244 1.538 5.916
*	374	1358/02158	100. 0.050	0.0170 0.478 0.244 1.538 5.916
*	375	1358/02158	100. 0.050	0.0170 0.478 0.244 1.538 5.916
*	376	1358/02158	100. 0.050	0.0170 0.478 0.244 1.538 5.916
*	377	1358/02158	100. 0.050	0.0170 0.478 0.244 1.538 5.916
*	378	1358/02158	100. 0.050	0.0170 0.478 0.244 1.538 5.916
*	379	1358/02158	100. 0.050	0.0170 0.478 0.244 1.538 5.916
*	380	1358/02158	100. 0.050	0.0170 0.478 0.244 1.538 5.916
*	381	1358/02158	100. 0.050	0.0170 0.478 0.244 1.538 5.916
*	382	1358/02158	100. 0.050	0.0170 0.478 0.244 1.538 5.916
*	383	1358/02158	100. 0.050	0.0170 0.478 0.244 1.538 5.916
*	384	1358/02158	100. 0.050	0.0170 0.478 0.244 1.538 5.916
*	385	1358/02158	100. 0.050	0.0170 0.478 0.244 1.538 5.916
*	386	1358/02158	100. 0.050	0.0170 0.478 0.244 1.538 5.916
*	387	1358/02158	100. 0.050	0.0170 0.478 0.244 1.538 5.916
*	388	1358/02158	100. 0.050	0.0170 0.478 0.244 1.538 5.916
*	389	1358/02158	100. 0.050	0.0170 0.478 0.244 1.538 5.916
*	390	1358/02158	100. 0.050	0.0170 0.478 0.244 1.538 5.916
*	391	1358/02158	100. 0.050	0.0170 0.478 0.244 1.538 5.916
*	392	1358/02158	100. 0.050	0.0170 0.478 0.244 1.538 5.916
*	393	1358/02158	100. 0.050	0.0170 0.478 0.244 1.538 5.916
*	394	1358/02158	100. 0.050	0.0170 0.478 0.244 1.538 5.916
*	395	1358/02158	100. 0.050	0.0170 0.478 0.244 1.538 5.916
*	396	1358/02158	100. 0.050	0.0170 0.478 0.244 1.538 5.916
*	397	1358/02158	100. 0.050	0.0170 0.478 0.244 1.538 5.916
*	398	1358/02158	100. 0.050	0.0170 0.478 0.244 1.538 5.916
*	399	1358/02158	100. 0.050	0.0170 0.478 0.244 1.538 5.916
*	400	1358/02158	100. 0.050	0.0170 0.478 0.244 1.538 5.916
*	401	1358/02158	100. 0.050	0.0170 0.478 0.244 1.538 5.916
*	402	1358/02158	100. 0.050	0.0170 0.478 0.244 1.538 5.916
*	403	1358/02158	100. 0.050	0.0170 0.478 0.244 1.538 5.916
*	404	1358/02158	100. 0.050	0.0170 0.478 0.244 1.538 5.916
*	405	1358/02158	100. 0.050	0.0170 0.478 0.244 1.538 5.916
*	406	1358/02158	100. 0.050	0.0170 0.478 0.244 1.538 5.916
*	407	1358/02158	100. 0.050	0.0170 0.478 0.244 1.538 5.916
*	408	1358/02158	100. 0.050	0.0170 0.478 0.244 1.538 5.916
*	409	1358/02158	100. 0.050	0.0170 0.478 0.244 1.538 5.916
*	410	1358/02158	100. 0.050	0.0170 0.478 0.244 1.538 5.916
*	411	1358/02158	100. 0.050	0.0170 0.478 0.244 1.538 5.916
*	412	1358/02158	100. 0.050	0.0170 0.478 0.244 1.538 5.916
*	413	1358/02158	100. 0.050	0.0170 0.478 0.244 1.538 5.916
*	414	1358/02158	100. 0.050	0.0170 0.478 0.244 1.538 5.916
*	415	1358/02158	100. 0.050	0.0170 0.478 0.244 1.538 5.916
*	416	1358/02158	100. 0.050	0.0170 0.478 0.244 1.538 5.916
*	417	1358/02158	100. 0.050	0

ANEXO I (Cont.)

QUADRO RESUMO DOS RESULTADOS NAS TUBAGENS

TUBG	NOS	RUGOSI	PERDA	P. CARGA				
NO.	DE PARA	COMP	DIAM	DADE	CAUDAL	VELOC	CARGA	UNITARIA
328	2858	3258	450.	0.080	0.0170	1.292	0.257	1.583
*	329	2558	1658	280.	0.150	0.0170	2.184	0.124
330	2558	2158	140.	0.200	0.0170	12.969	0.413	0.374
*	331	1658	2158	130.	0.100	0.0170	1.820	0.232
*	332	2158	1458	170.	0.200	0.0170	14.425	0.459
333	1458	1158	380.	0.100	0.0170	1.302	0.166	0.413
*	334	1158	2458	660.	0.050	0.0170	0.086	0.127
335	2358	1158	410.	0.100	0.0170	0.357	0.045	0.033
336	2358	2458	130.	0.200	0.0170	8.806	0.280	0.160
337	1458	2358	230.	0.200	0.0170	10.184	0.324	0.379
*	338	1458	2258	160.	0.100	0.0170	1.310	0.167
339	2258	3358	260.	0.100	0.0170	1.649	0.210	0.453
340	3258	3358	110.	0.060	0.0170	0.616	0.218	0.408
*	341	2458	3458	440.	0.060	0.0170	0.298	0.105
342	2458	3458	430.	0.200	0.0170	7.472	0.238	0.382
343	3458	2757	590.	0.100	0.0170	0.570	0.073	0.123
344	3358	3458	200.	0.100	0.0170	1.509	0.192	0.292
345	3258	48	380.	0.060	0.0170	0.508	0.180	0.959
*	346	3458	48	240.	0.200	0.0170	8.233	0.262
347	48	548	550.	0.200	0.0170	8.657	0.276	0.655
*	348	548	3202	110.	0.300	0.0170	53.798	0.761
349	3202	247	795.	0.300	0.0170	64.997	0.920	6.142
*	350	3202	3202	5.	0.500	0.0010	21.809	0.111*
351	3202	247	740.	0.150	0.0170	10.610	0.600	6.142
*	352	247	147	100.	0.300	0.0170	71.605	1.013
*	353	247	1047	430.	0.080	0.0170	3.745	0.745*
354	1047	1147	85.	0.100	0.0170	1.302	0.166	0.092
*	355	1147	1447	270.	0.100	0.0170	0.530	0.067
356	1447	1547	230.	0.080	0.0170	0.016	0.003	0.001
*	357	1047	1547	270.	0.080	0.0170	0.498	0.099

QUADRO RESUMO DOS RESULTADOS NAS TUBAGENS

TUBG	NOS	RUGOSI	PERDA	P. CARGA				
NO.	DE PARA	COMP	DIAM	DADE	CAUDAL	VELOC	CARGA	UNITARIA
358	1047	1247	240.	0.125	0.0170	1.101	0.090	0.057
359	747	1247	105.	0.080	0.0170	0.395	0.079	0.035
*	360	747	1247	200.	0.080	0.0170	0.286	0.057
361	747	1347	140.	0.175	0.0170	0.000	0.000	0.000
*	362	447	747	120.	0.125	0.0170	1.243	0.101
*	363	447	547	140.	0.100	0.0170	5.672	0.722
364	547	3657	380.	0.175	0.0170	3.888	0.162	0.186
365	3657	3457	250.	0.100	0.0170	2.926	0.373	1.372
366	3457	3357	120.	0.100	0.0170	2.494	0.318	0.478
*	367	47	447	110.	0.125	0.0170	8.135	0.663
*	368	47	3257	140.	0.125	0.0170	3.713	0.303
*	369	147	47	330.	0.125	0.0170	12.673	1.033**
*	370	147	3157	260.	0.250	0.0170	58.933	1.201*
*	371	3157	2957	190.	0.250	0.0170	56.133	1.144
*	372	3257	3057	230.	0.125	0.0170	3.323	0.271
373	2957	2857	130.	0.250	0.0170	55.783	1.136	1.956
*	374	3057	2557	230.	0.125	0.0170	2.635	0.215
375	2857	2557	160.	0.250	0.0170	54.491	1.110	2.297
376	2557	257	530.	0.100	0.0170	1.428	0.182	0.693
377	2557	2057	150.	0.250	0.0170	54.130	1.103	2.125
378	2057	1457	90.	0.125	0.0170	6.140	0.500	0.662
379	1457	557	410.	0.125	0.0170	1.892	0.154	0.286
*	380	1457	557	250.	0.125	0.0170	2.423	0.197
381	1457	1357	35.	0.100	0.0170	1.539	0.196	0.053
382	1357	457	240.	0.100	0.0170	1.539	0.196	0.364
*	383	557	457	50.	0.125	0.0170	3.671	0.299
384	457	767	450.	0.100	0.0170	4.812	0.613	6.679
385	2057	2457	200.	0.200	0.0170	47.524	1.513**	7.181
386	2457	2657	400.	0.300	0.0170	45.127	0.638	1.490
*	387	2457	657	430.	0.080	0.0170	2.398	0.477

ANEXO I (Cont.)

QUADRO RESUMO DOS RESULTADOS NAS TUBAGENS

TUBG	NOS	RUGOSI	PERDA	P. CARGA					
NO.	DE PARA	COMP	DIAM	DADE	CAUDAL	VELOC	CARGA	UNITARIA	
388	2657	3557	440.	0.050	0.0170	0.636	0.324	4.599	10.453
* 389	2657	2157	180.	0.150	0.0170	6.936	0.393	0.639	3.547
390	2657	2357	160.	0.200	0.0170	35.873	1.142*	3.273	20.458
* 391	2157	1657	135.	0.100	0.0170	6.874	0.875*	4.089	30.287
392	2357	1957	80.	0.200	0.0170	34.387	1.095*	1.504	18.798
393	1057	1657	300.	0.050	0.0170	0.173	0.088	0.231	0.771
* 394	657	1057	180.	0.080	0.0170	1.432	0.285	0.778	4.321
* 395	657	1367	680.	0.080	0.0170	0.814	0.162	0.948	1.395
396	1367	757	540.	0.080	0.0170	0.184	0.037	0.038	0.071
* 397	1057	757	80.	0.080	0.0170	1.113	0.221	0.209	2.611
* 398	757	1157	260.	0.080	0.0170	0.381	0.076	0.079	0.306
399	1657	1157	400.	0.050	0.0170	0.074	0.038	0.057	0.143
* 400	1657	1157	280.	0.050	0.0170	0.089	0.045	0.057	0.204
* 401	1657	1957	80.	0.200	0.0170	6.260	0.199	0.050	0.623
402	1957	2257	250.	0.200	0.0170	40.352	1.284**	6.472	25.886
403	2257	1757	280.	0.200	0.0170	37.758	1.202*	6.346	22.665
404	1757	1257	170.	0.125	0.0170	4.866	0.397	0.785	4.617
405	1257	156	150.	0.125	0.0170	1.867	0.152	0.102	0.679
* 406	1257	4566	380.	0.060	0.0170	0.314	0.111	0.365	0.962
* 407	4566	3866	150.	0.060	0.0170	0.794	0.281	0.924	6.161
* 408	3866	1267	165.	0.060	0.0170	0.026	0.009	0.001	0.007
* 409	3866	1767	190.	0.060	0.0170	0.632	0.224	0.742	3.903
* 410	156	4566	330.	0.100	0.0170	1.116	0.142	0.264	0.799
* 411	4566	1156	120.	0.100	0.0170	0.514	0.065	0.020	0.169
* 412	1757	4566	170.	0.200	0.0170	17.906	0.570	0.867	5.097
* 413	1757	1756	130.	0.200	0.0170	14.838	0.472	0.105	3.500
414	1756	2256	390.	0.125	0.0170	6.265	0.510	2.984	7.652
* 415	2256	1146	320.	0.125	0.0170	1.612	0.131	0.162	0.507
416	2256	2556	360.	0.125	0.0170	1.954	0.159	0.268	0.745
* 417	2556	1356	470.	0.050	0.0170	0.258	0.132	0.810	1.724
391	2257	1957	100.	0.125	0.0170	0.177	0.057	0.154	0.334
392	1957	1657	180.	0.125	0.0170	0.177	0.057	0.154	0.334
393	657	1057	160.	0.125	0.0170	0.177	0.057	0.154	0.334
394	657	1367	240.	0.125	0.0170	0.177	0.057	0.154	0.334
395	1367	737	240.	0.125	0.0170	0.177	0.057	0.154	0.334
* 396	1057	737	240.	0.125	0.0170	0.177	0.057	0.154	0.334
* 397	1057	1257	240.	0.125	0.0170	0.177	0.057	0.154	0.334
* 398	757	1157	240.	0.125	0.0170	0.177	0.057	0.154	0.334
399	1657	1257	240.	0.125	0.0170	0.177	0.057	0.154	0.334

QUADRO RESUMO DOS RESULTADOS NAS TUBAGENS

TUBG	NOS	RUGOSI	PERDA	P. CARGA					
NO.	DE PARA	COMP	DIAM	DADE	CAUDAL	VELOC	CARGA	UNITARIA	
* 418	1856	2556	950.	0.100	0.0170	0.132	0.017	0.011	0.011
* 419	1856	2556	390.	0.100	0.0170	0.206	0.026	0.011	0.027
* 420	1856	1856	80.	0.100	0.0170	1.872	0.238	0.180	2.246
* 421	2256	1956	170.	0.100	0.0170	0.845	0.108	0.078	0.457
* 422	556	1956	380.	0.100	0.0170	1.946	0.248	0.922	2.426
* 423	656	1356	340.	0.050	0.0170	0.340	0.173	1.014	2.983
* 424	756	556	170.	0.125	0.0170	8.035	0.655	2.140	12.588
* 425	556	656	190.	0.125	0.0170	4.952	0.404	0.908	4.781
* 426	456	4766	990.	0.200	0.0170	16.026	0.510	4.042	4.083
* 427	4766	3000	10.	0.300	0.0170	16.026	0.227	0.005	0.470

VALORES MEDIOS DA VELOCIDADE E DA PERDA DE CARGA-UNITARIA
VALORES MAXIMOS E MINIMOS DA VELOCIDADE

QUADRO RESUMO DOS RESULTADOS NAS TUBAGENS

TUBG	NOS	RUGOSI	PERDA	P. CARGA					
NO.	DE PARA	COMP	DIAM	DADE	CAUDAL	VELOC	CARGA	UNITARIA	
* 428	1056	2556	910.	0.100	0.0170	0.132	0.017	0.011	0.011
* 429	1056	2556	390.	0.100	0.0170	0.206	0.026	0.011	0.027
* 430	1056	1856	80.	0.100	0.0170	1.872	0.238	0.180	2.246
* 431	2256	1856	170.	0.100	0.0170	0.845	0.108	0.078	0.457
* 432	556	1956	380.	0.100	0.0170	1.946	0.248	0.922	2.426
* 433	656	1356	340.	0.050	0.0170	0.340	0.173	1.014	2.983
* 434	756	556	170.	0.125	0.0170	8.035	0.655	2.140	12.588
* 435	556	656	190.	0.125	0.0170	4.952	0.404	0.908	4.781
* 436	456	4766	990.	0.200	0.0170	16.026	0.510	4.042	4.083
* 437	4766	3000	10.	0.300	0.0170	16.026	0.227	0.005	0.470

ANEXO I (Cont.)

QUADRO RESUMO DOS RESULTADOS DOS NOS

QUADRO RESUMO DOS RESULTADOS DOS NOS

NO.	CONSUMO (L/S)	COTA TOFG	PRESSAO PIEZOM	COTA TOFG	PRESSAO PIEZOM	NO.	CONSUMO (L/S)	COTA TOFG	PRESSAO PIEZOM	COTA TOFG	PRESSAO PIEZOM	NO.	CONSUMO (L/S)	COTA TOFG	PRESSAO PIEZOM	COTA TOFG	PRESSAO PIEZOM	COTA TOFG	PRESSAO PIEZOM			
47	0.82	75.20	27.89	273.30	103.09	1657	24.42.81	61.40	24.98	244.81	86.38	1658	24.42.81	61.40	24.98	244.81	86.38	1658	24.42.81	61.40	24.98	
48	0.08	78.40	22.81	223.52	121.21	1757	0.36	43.00	80.23++	786.22	123.23	0.15	50.50	23.01	225.53	73.51	0.15	50.50	23.01	225.53	73.51	0.15
146	1.61	67.00	3.26--	31.97	70.26	1758	0.32	54.80	48.16++	667.94	122.96	0.63	35.00	35.70	349.83	70.70	0.63	35.00	35.70	349.83	70.70	0.63
147	0.0	72.50	40.92	401.02	113.42	1767	0.63	0.19	31.10	88.06++	862.94	119.16	1.53	62.50	7.67--	75.13	70.17	1.53	62.50	7.67--	75.13	70.17
148	0.73	86.50	36.24	355.11	122.74	1768	0.19	0.22	48.00	73.43	73.43	0.22	59.90	62.47+	612.22	122.37	0.22	59.90	62.47+	612.22	122.37	
156	1.26	52.80	19.83	194.30	72.63	1856	1.53	1.53	59.90	62.47+	612.22	122.37	1.11	59.90	62.47+	612.22	122.37	1.11	59.90	62.47+	612.22	122.37
247	0.28	65.00	49.36	483.71	114.43	1858	1.11	0.47	72.38	268.31	268.31	0.47	72.38	268.31	268.31	0.47	72.38	268.31	268.31	0.47	72.38	268.31
257	1.43	42.61	42.61	417.59	101.21	1868	0.30	0.28	50.70	710.09	123.16	0.28	50.70	710.09	123.16	0.28	50.70	710.09	123.16	0.28	50.70	710.09
258	0.30	44.90	74.27++	727.84	119.17	1956	0.92	53.10	17.25	169.02	70.35	0.29	65.00	21.33	209.05	86.33	0.29	65.00	21.33	209.05	86.33	0.29
348	0.0	94.40	27.72	271.64	122.12	1957	0.29	0.22	48.00	73.43	73.43	0.22	73.43	73.43	73.43	0.22	73.43	73.43	73.43	0.22	73.43	73.43
358	0.79	46.00	73.42++	719.52	119.42	1958	0.22	0.22	59.90	62.47+	612.22	122.37	0.22	59.90	62.47+	612.22	122.37	0.22	59.90	62.47+	612.22	122.37
447	1.22	77.10	24.57	240.76	101.67	2057	0.47	0.47	72.38	268.31	268.31	0.47	72.38	268.31	268.31	0.47	72.38	268.31	268.31	0.47	72.38	268.31
456	1.37	45.30	27.35	268.00	72.65	2058	0.28	0.28	50.70	710.09	123.16	0.28	50.70	710.09	123.16	0.28	50.70	710.09	123.16	0.28	50.70	710.09
457	0.40	59.00	39.70	389.06	98.70	2157	0.06	0.06	65.20	247.64	90.47	0.06	65.20	247.64	90.47	0.06	65.20	247.64	90.47	0.06	65.20	247.64
547	1.78	69.90	28.88	283.03	98.78	2158	0.36	0.36	51.30	702.17	122.95	0.36	51.30	702.17	122.95	0.36	51.30	702.17	122.95	0.36	51.30	702.17
548	0.0	118.00	2.55--	25.02	120.55	2256	1.85	1.85	59.30	1.1.12-	518.40	92.60	1.85	59.30	1.1.12-	518.40	92.60	1.85	59.30	1.1.12-	518.40	92.60
556	1.14	45.10	26.17	256.45	71.21	2257	2.59	2.59	61.70	16.16	177.96	86.86	2.59	61.70	16.16	177.96	86.86	2.59	61.70	16.16	177.96	86.86
557	0.64	64.20	34.63	339.39	98.83	2258	0.14	0.14	52.10	70.11++	687.09	122.21	0.14	52.10	70.11++	687.09	122.21	0.14	52.10	70.11++	687.09	122.21
656	4.61	53.70	16.66	163.27	70.36	2357	1.49	1.49	64.50	23.33	228.68	87.83	1.49	64.50	23.33	228.68	87.83	1.49	64.50	23.33	228.68	87.83
657	0.15	46.00	41.39	405.62	87.39	2358	1.02	1.02	63.40	58.61	574.36	122.01	1.02	63.40	58.61	574.36	122.01	1.02	63.40	58.61	574.36	122.01
747	0.56	81.40	20.23	198.27	101.63	2457	0.0	0.0	39.70	52.90	518.40	92.60	0.0	39.70	52.90	518.40	92.60	0.0	39.70	52.90	518.40	92.60
756	0.54	51.80	21.61	211.76	73.41	2458	1.12	1.12	77.00	44.85	439.51	121.85	1.12	77.00	44.85	439.51	121.85	1.12	77.00	44.85	439.51	121.85
757	0.92	54.00	32.40	317.55	86.40	2556	2.03	2.03	61.90	8.26--	80.91	70.16	2.03	61.90	8.26--	80.91	70.16	2.03	61.90	8.26--	80.91	70.16
767	4.81	36.40	55.62	545.09	92.02	2557	1.57	1.57	72.50	29.40	288.16	101.90	1.57	72.50	29.40	288.16	101.90	1.57	72.50	29.40	288.16	101.90
858	0.06	52.40	68.91+	675.27	121.31	2558	0.45	0.45	56.60	66.72+	653.90	123.32	0.45	56.60	66.72+	653.90	123.32	0.45	56.60	66.72+	653.90	123.32
1047	0.84	63.10	38.55	37.83	101.65	2568	0.35	0.35	40.70	78.46++	768.90	119.16	0.35	40.70	78.46++	768.90	119.16	0.35	40.70	78.46++	768.90	119.16
1057	0.15	55.00	31.61	309.80	86.61	2657	1.68	1.68	60.00	31.11	304.86	119.11	1.68	60.00	31.11	304.86	119.11	1.68	60.00	31.11	304.86	119.11
1147	0.77	73.80	27.76	272.06	101.56	2658	1.45	1.45	66.00	55.31	542.01	121.31	1.45	66.00	55.31	542.01	121.31	1.45	66.00	55.31	542.01	121.31
1157	0.54	48.70	37.62	368.71	86.32	2757	0.57	0.57	82.30	39.04	382.63	121.34	0.57	82.30	39.04	382.63	121.34	0.57	82.30	39.04	382.63	121.34
1158	1.57	42.50	79.48++	778.85	121.98	2857	1.26	1.26	71.90	32.30	316.56	104.20	1.26	71.90	32.30	316.56	104.20	1.26	71.90	32.30	316.56	104.20
1247	1.78	68.50	33.00	323.37	101.65	2858	1.77	1.77	54.70	69.05+	676.69	123.75	1.77	54.70	69.05+	676.69	123.75	1.77	54.70	69.05+	676.69	123.75
1257	2.69	48.90	25.83	233.52	72.73	2957	0.45	0.45	68.20	37.96	371.99	106.16	0.45	68.20	37.96	371.99	106.16	0.45	68.20	37.96	371.99	106.16
1267	0.03	34.50	36.94	361.97	71.44	2958	0.45	0.45	64.40	59.32	581.38	123.72	0.45	64.40	59.32	581.38	123.72	0.45	64.40	59.32	581.38	123.72
1347	0.0	83.50	18.13	177.69	101.63	3057	0.69	0.69	73.80	28.42	278.47	102.22	0.69	73.80	28.42	278.47	102.22	0.69	73.80	28.42	278.47	102.22
1356	0.60	50.30	19.05	186.65	69.35	3157	2.80	2.80	55.20	53.85	527.76	109.05	2.80	55.20	53.85	527.76	109.05	2.80	55.20	53.85	527.76	109.05
1357	0.0	66.50	32.56	319.13	99.06	3158	0.9	0.9	69.90	53.73	526.51	123.63	0.9	69.90	53.73	526.51	123.63	0.9	69.90	53.73	526.51	123.63
1358	0.31	43.04	43.04	421.81	86.44	3257	0.39	0.39	79.20	23.51	230.41	102.71	0.39	79.20	23.51	230.41	102.71	0.39	79.20	23.51	230.41	102.71
1367	0.51	73.80	27.71	271.59	101.51	3258	0.17	0.17	77.20	4.47	44.67	122.17	0.17	77.20	4.47	44.67	122.17	0.17	77.20	4.47	44.67	122.17
1447	0.29	68.00	31.12	304.95	99.12	3357	2.49	2.49	71.40	25.34	248.38	96.74	2.49	71.40	25.34	248.38	96.74	2.49	71.40	25.34	248.38	96.74
1457	1.63	42.20	80.19++	785.84	122.39	3358	0.76	0.76	60.20	40.78	407.28	121.76	0.76	60.20	40.78	407.28	121.76	0.76	60.20	40.78	407.28	121.76
1458	0.51	65.10	36.41	356.84	101.51	3359	0.43	0.43	66.40	30.27	302.07	97.22	0.43	66.40	30.27	302.07	97.22	0.43	66.40	30.27	302.07	97.22
1547	0.03	62.50	61.03++	598.08	123.53	3357	0.64	0.64	91.30	30.17	295.63	121.47	0.64	91.30	30.17	295.63	121.47	0.64	91.30	30.17	295.63	121.47
1558	0.03	61.03	61.03++	61.03	3357	34.50	34.50	34.50	34.50	34.50	34.50	34.50	34.50	34.50	34.50	34.50	34.50	34.50	34.50	34.50	34.50	

ANEXO I (Cont.)

QUADRO RESUMO DOS RESULTADOS DOS NOS

NO.	CONSUMO (L/S)	COTA TOPG	ALT. PIEZOM	PRESSAO PIEZOM	COTA PIEZOM
3657	0.96	52.20	46.39	454.67	98.59
3866	0.14	47.40	24.04	235.58	71.44
4566	0.64	50.00	22.36	219.16	72.36
4766	0.0	66.20	2.40--	23.57	68.60
3100	-71.14	47.50	76.61	750.82	124.11
3200	-21.81	117.00	3.50	34.30	120.50
3000	16.03	68.60	0.0	0.0	68.60

VALORES MEDIOS DAS ALTURAS E COTAS PIEZOMETRICAS 39.39 100.94

VALORES MAXIMOS E MINIMOS DA ALTURA PIEZOMETRICA 88.06 2.40

ANEXO II - REFERÉNCIAS BIBLIOGRÁFICAS

- RIBEIRO DE SOUSA, E.A. 1984 - *Simulação de Sistemas de Distribuição de Água: Situação Actual e Perspectivas para Portugal*. I Simpósio Luso-Brasileiro de Engenharia Sanitária e Ambiental - Tema Sistemas de Produção e Distribuição de Água. Lisboa.
- HIDROPROJECTO/HIDROSISTEMAS 1985 a - *Estudo para Implementação do Modelo Matemático do Sistema de Abastecimento de Água ao Concelho de Cascais - Volume 1 - Peças Escritas - Tomos I a VI*. Lisboa.
- HIDROPROJECTO/HIDROSISTEMAS 1985 b - *Estudo para Implementação do Modelo Matemático do Sistema de Abastecimento de Água ao Concelho de Cascais - Volume 2 - Peças Desenhadas*. Lisboa.
- RIBEIRO DE SOUSA, E.A.; LAGES, U.; SALINHA, J.C.; VIDREIRA, A. 1985 - *Modelo Matemático de Planeamento e Exploração do Sistema de Abastecimento de Água ao Concelho de Cascais - Parte A*. 2^{as} Jornadas Técnicas da APRH. Estoril.

ANEXO II - REFERÉNCIAS BIBLIOGRÁFICAS

- RIBEIRO DE SOUSA, E.A. 1984 - *Simulação de Sistemas de Distribuição de Água: Situação Actual e Perspectivas para Portugal*. I Simpósio Luso-Brasileiro de Engenharia Sanitária e Ambiental - Tema Sistemas de Produção e Distribuição de Água. Lisboa.
- HIDROPROJECTO/HIDROSISTEMAS 1985 a - *Estudo para Implementação do Modelo Matemático do Sistema de Abastecimento de Água ao Concelho de Cascais - Volume 1 - Peças Escritas - Tomos I a VI*. Lisboa.
- HIDROPROJECTO/HIDROSISTEMAS 1985 b - *Estudo para Implementação do Modelo Matemático do Sistema de Abastecimento de Água ao Concelho de Cascais - Volume 2 - Peças Desenhadas*. Lisboa.
- RIBEIRO DE SOUSA, E.A.; LAGES, U.; SALINHA, J.C.; VIDREIRA, A. 1985 - *Modelo Matemático de Planeamento e Exploração do Sistema de Abastecimento de Água ao Concelho de Cascais - Parte A*. 2^{as} Jornadas Técnicas da APRH. Estoril.

ANEXO III - REFERÉNCIAS BIBLIOGRÁFICAS

- Ribeiro de Sousa, E.A. 1984 - *Modelo Matemático do Sistema de Abastecimento de Água ao Concelho de Cascais - Peças Escritas para o Tomo I*. 2^{as} Jornadas Técnicas da APRH, Estoril.
- Ribeiro de Sousa, E.A. 1984 - *Modelo Matemático do Sistema de Abastecimento de Água ao Concelho de Cascais - Peças Desenhadas para o Tomo I*. 2^{as} Jornadas Técnicas da APRH, Estoril.